

研究简报**正向电流密度对纯钛表面氧化物陶瓷膜形态的影响**张玉凤¹, 于维先^{2,3}, 张影杰⁴, 王海瑞³(1. 吉林大学 口腔医学院修复科, 长春 130021; 2. 吉林大学 口腔医学院牙发育及骨重塑与再生修复研究室, 长春 130021; 3. 哈尔滨工业大学 材料科学与工程学院, 哈尔滨 150090;
4. 吉林大学 中日联医院手术室, 长春 130033)

摘要: 通过微弧氧化技术, 以 0.2 mol/L 磷酸二氢钠和 0.4 mol/L 醋酸钙为电解液体系, 设定不同的正向电流密度, 研究正向电流对在纯钛表面制备氧化物陶瓷膜形态的影响。在纯钛表面制备了含有 TiO_2 和羟基磷灰石成份的陶瓷膜, 结果表明, 当正向电流密度为 $15\text{ A}/\text{dm}^2$ 和 $20\text{ A}/\text{dm}^2$ 时, 陶瓷膜的形态较好。

关键词: 纯钛; 微弧氧化; 正向电流; 氧化物陶瓷膜

中图分类号: TB383 文献标志码: A 文章编号: 1671-5489(2011)04-0764-03

Effect of Anodic Current Density on Morphology of Oxide Ceramic Membrane on Pure Titanium

ZHANG Yu-feng¹, YU Wei-xian^{2,3}, ZHANG Ying-jie⁴, WANG Hai-rui³

(1. Department of Prosthodontics, School of Stomatology, Jilin University, Changchun 130021, China;

2. Laboratory of Mechanism of Tooth Development and Bone Remodeling and Regeneration, School of Stomatology,

Jilin University, Changchun 130021, China; 3. School of Materials Science and Engineering, Harbin Institute of Technology, Harbin 150090, China; 4. Department of Operation, China-Japan Union Hospital, Jilin University, Changchun 130033, China)

Abstract: The effect of anodic current density on morphology of oxide ceramic membrane prepared by means of microarc oxidation on pure titanium was studied with 0.2 mol/L NaH_2PO_4 and 0.4 mol/L $(CH_3COO)_2Ca$ as electrolytes. The results show that TiO_2 and hydroxyapatite ceramic membrane formed on the surface of pure titanium. The morphology of ceramic membrane is better when the anodic current densities are $15\text{ A}/\text{dm}^2$ and $20\text{ A}/\text{dm}^2$.

Key words: pure titanium; microarc oxidation; anodic current; oxide ceramic membrane

钛金属资源丰富、价格低廉、密度小、与人体骨组织相似, 并具有良好的生物相容性及耐腐蚀性等优点, 在口腔种植领域应用广泛。但钛金属属于惰性材料, 使其在临床应用中的成功率较低, 因此, 需要对其进行改性处理。目前在钛及钛合金表面的改性研究中, 等离子喷涂技术制备的涂层较好, 但涂层材料与基体间存在明显的界面, 且结合强度较低, 涂层材料易脱落和溶解, 最终导致种植体失败。

采用微弧氧化技术(等离子体氧化技术)可直接在有色金属表面原位生长陶瓷膜^[1,2]。利用该技术制备的膜层与基体结合牢固, 结构致密, 韧性高, 且膜层表面呈微孔状, 有利于种植体与骨组织的结

收稿日期: 2010-10-25.

作者简介: 张玉凤(1961—), 女, 汉族, 副教授, 从事口腔修复材料的研究, E-mail: 568949871@qq.com. 通讯作者: 于维先(1963—), 女, 汉族, 博士, 教授, 从事生物医学材料改性、口腔微生态与龋病和牙周病相关性的研究, E-mail: yu-wei-xian@163.com; 张影杰(1958—), 女, 汉族, 副主任护师, 从事临床护理学的研究, E-mail: 778856216@qq.com.

基金项目: 吉林省科技发展计划项目(批准号: 200705341).

合, 更适于牙科种植体的表面改性处理, 但改性后的材料生物活性较差, 需进一步处理才能形成含羟基磷灰石的陶瓷膜^[3-5]. 本文利用双相脉冲微弧氧化法, 通过调节正向电流的大小, 在纯钛表面制备出与基体结合强度较高, 且具有良好生物活性的氧化物陶瓷膜。

1 实验

1.1 仪器和设备 微弧氧化设备采用 WHD-300 型双相脉冲电源(哈尔滨工业大学中俄科技合作及产业化中心); JSM-6460 型扫描电子显微镜和 X 射线能谱分析仪(日本电子株式会社); Dmax-III B 型 X 射线衍射仪(日本理学公司); CTG-10 数字式电涡流涂层测厚仪(德国 EPK 公司)。

1.2 样品制备 本文采用纯钛 TA2(宝鸡宝冶镍钛制造有限公司)制备样品, 将其制成 $16 \text{ mm} \times 15 \text{ mm} \times 1 \text{ mm}$ 的试样备用。分别用 100#, 240#, 400#, 800#, 1200#砂纸打磨试样表面的毛刺和划痕, 打磨后的试样浸入酸洗液中($V(\text{HF}) : V(\text{HNO}_3) = 1 : 3$), 溶解掉纯钛表面的自然氧化膜, 用去离子水冲洗残留酸液, 将试样在丙酮和酒精混合液中浸泡 5 min, 取出后冲洗吹干待用。微弧氧化的电解液为 0.2 mol/L 磷酸二氢钠和 0.4 mol/L 醋酸钙, 电源的脉冲频率为 60 Hz, 正向电流密度(j_a)分别为 10, 15, 20, 25, 30 A/dm², 处理 20 min。

2 结果与讨论

利用扫描电镜、能谱仪及 X 射线衍射仪对制备的膜层进行表征, 并通过电涡流涂层测厚仪测量膜层厚度。氧化膜厚度与正向电流密度的关系如图 1 所示。由图 1 可见, 形成的陶瓷膜随正向电流密度的升高而增厚。

不同正向电流密度下氧化膜的表面形貌如图 2 所示。由图 2(A)~(E)可见, 氧化膜的放电孔径随正向电流密度的增大而增大, 但微孔的数目减少、陶瓷颗粒粒径增大, 当电流密度大于 25 A/dm² 时, 氧化膜表面出现烧蚀现象; 当电流密度为 30 A/dm² 时, 膜层表面的放电孔基本被熔融物堵塞。即随着电流密度的增大, 表面放电加剧, 弧光明显增强。由图 2(F)~(J)可见, 当电流密度为 10 A/dm² 时, 在微弧氧化放电孔的间隙处可见少量的结晶颗粒; 当电流密度为 15 A/dm² 时, 膜层表面的结晶物质增多, 主要位于微孔间凹凸不平处, 且结晶颗粒变大; 当电流密度为 20 A/dm² 时, 膜层表面的结晶颗粒变大, 被烧结融合在放电通道周围; 当电流密度为 30 A/dm² 时, 放电通道被堵塞, 微孔消失。

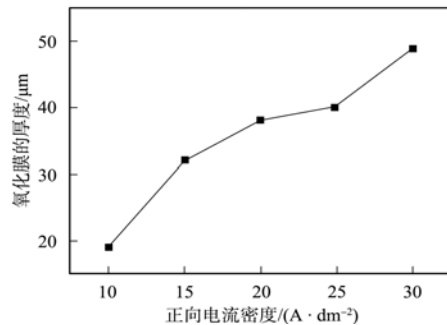


图 1 氧化膜厚度与正向电流密度的关系

Fig. 1 Relationship between thickness of oxide ceramic membrane and anodic current density

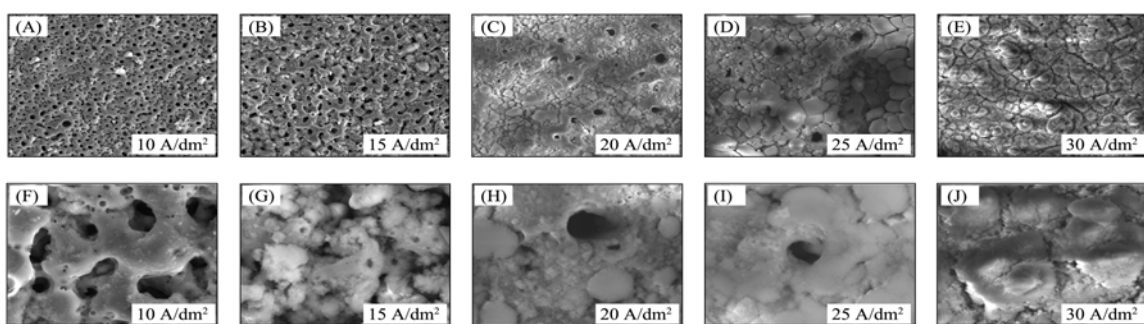


图 2 不同正向电流密度下氧化膜的表面形貌

Fig. 2 Morphologies of oxide ceramic membranes prepared at different anodic current densities

氧化膜中各元素的相对质量分数与正向电流密度的关系如图 3 所示。由图 3 可见, 随着正向电流密度的增加, 膜层表面 Ti 元素的相对质量分数减小, Ca 和 P 元素的相对质量分数增加, O 元素相对质量分数在电流密度为 30 A/dm² 时略有增加。

氧化膜的 XRD 谱如图 4 所示。由图 4 可见, 当电流密度为 10 A/dm² 时, 氧化膜的主晶相为金红

石型 TiO_2 , 并存在锐钛矿型 TiO_2 和极少量结晶状态较差的羟基磷灰石(HA)及来自基体的纯钛衍射峰。随着电流密度的增加, 金红石型 TiO_2 和锐钛矿型 TiO_2 衍射峰逐渐减弱, 羟基磷灰石的衍射峰逐渐增强。当电流密度为 $25 \text{ A}/\text{dm}^2$ 和 $30 \text{ A}/\text{dm}^2$ 时, 均出现纯钛的衍射峰, 同时锐钛矿型 TiO_2 和金红石型 TiO_2 的衍射峰略有增强。

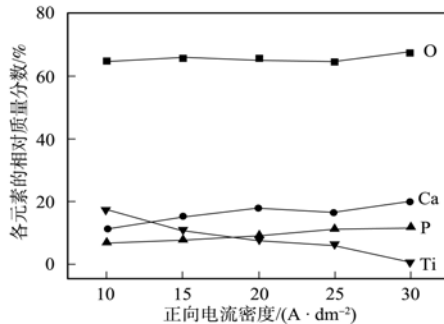


图3 氧化膜中各元素相对质量分数与正向电流密度的关系

Fig.3 Curves of element mass fraction of oxide ceramic membrane vs anodic current density

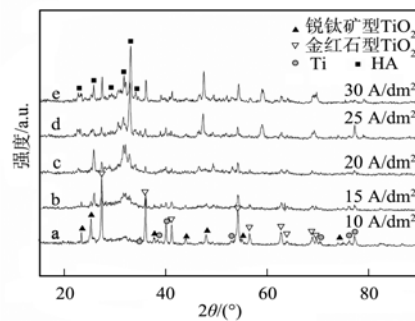


图4 不同正向电流密度下氧化膜的XRD谱

Fig.4 XRD patterns of oxide ceramic membrane formed at different anodic current densities

综上, 本文在纯钛表面制备了含 TiO_2 和 HA 的氧化物陶瓷膜, 当正向电流密度为 $10 \text{ A}/\text{dm}^2$ 时, 陶瓷膜的主晶相为 TiO_2 , 膜层中存在极少量结晶状态较差的羟基磷灰石, 随着正相电流密度的增加, 羟基磷灰石的相对质量分数逐渐增加, 非晶形态减少, TiO_2 的相对质量分数逐渐减少, 膜层明显增厚。当电流密度为 $25 \text{ A}/\text{dm}^2$ 和 $30 \text{ A}/\text{dm}^2$ 时, 氧化膜表面均出现烧蚀现象, 极大降低了膜层质量。这是由于正向电流密度增加导致放电通道减少, 孔径增大, 由放电通道中喷出的熔融物质增多, 在电解液的迅速冷却下, 熔融物堆积在放电孔的周围而使膜层表面较平整所致^[6-8]。因此, 当正向电流密度为 $15 \text{ A}/\text{dm}^2$ 和 $20 \text{ A}/\text{dm}^2$ 时, 陶瓷膜的形态较好。

参 考 文 献

- [1] ZHONG Tao-sheng, JIANG Bai-ling, LI Jun-ming. Characteristics, Application and Research Direction of Micro-arc Oxidation [J]. Electroplating & Finishing, 2005, 24(6): 47-50. (钟涛生, 蒋百灵, 李均明. 微弧氧化技术的特点、应用前景及其研究方向 [J]. 电镀与涂饰, 2005, 24(6): 47-50.)
- [2] ZHAO Yu-feng, YANG Shi-yan, HAN Ming-wu. Technique of Plasma Microarc Oxidation and Its Development [J]. Materials Review, 2006, 20(6): 102-104. (赵玉峰, 杨世彦, 韩明武. 等离子体微弧氧化技术及其发展 [J]. 材料导报, 2006, 20(6): 102-104.)
- [3] LIU Fu, WANG Fu-ping, Shimizu T, et al. Hydroxyapatite Formation on Oxide Films Containing Ca and P by Hydrothermal Treatment [J]. Ceramics International, 2006, 32(5): 527-531.
- [4] CHEN Jian-zhi, ZHANG Fu-qiang, SHI Yu-long, et al. Effects of Different Concentration of Calcium and Phosphorus in Electrolytic Solution on the Properties of Containing Calcium and Phosphorus Oxide Film Formed by Micro Arc Oxidation [J]. Journal of Practical Stomatology, 2007, 23(2): 249-251. (陈建治, 张富强, 石玉龙, 等. 电解液钙磷比对微弧氧化法制备含钙磷氧化物膜结构的影响 [J]. 实用口腔医学杂志, 2007, 23(2): 249-251.)
- [5] LIU Liang, GUO Feng, LI Peng-fei, et al. Study on Electrolyte for Micro-arc Oxidation of Bio-modification of Titanium [J]. Surface Technology, 2009, 38(3): 37-40. (刘亮, 郭锋, 李鹏飞, 等. 钛生物种植体表面微弧氧化膜制备的电解液研究 [J]. 表面技术, 2009, 38(3): 37-40.)
- [6] TU Wen, YUAN Qiang-hua. Implants of Different Surface on Osteointegration [J]. Practical Clinical Medicine, 2005, 6(4): 138-139. (涂文, 袁强华. 不同表面种植体对骨整合的影响 [J]. 实用临床医学, 2005, 6(4): 138-139.)
- [7] Kim M J, Kim C W, Lim Y J, et al. Microrough Titanium Surface Affects Biologic Response in MG63 Osteoblast-Like Cells [J]. J Biomed Mater Res: A, 2006, 79(4): 1023-1032.
- [8] Ferguson S J, Langhoff J D, Voelker K, et al. Biomechanical Comparison of Different Surface Modifications for Dental Implants [J]. Int J Oral Maxillofac Implant, 2008, 23(6): 1037-1046.